UNIVERSITE DU HAVRE Laboratoire Ondes et Milieux Complexes



ECOLE CENTRALE PARIS Laboratoire de Mécanique des Sols, Structures et Matériaux



## Le concept de contrainte effective dans les sols partiellement saturés

Said Taibi, Jean-Marie Fleureau

#### CONTRAINTES EFFECTIVES DANS LES SOLS NON SATURÉS

La notion de « contrainte effective » est peut être aujourd'hui le concept le plus controversé en mécanique des sols non saturé

Elle est définie à l'origine comme « ...une fonction de la contrainte totale et de la pression interstitielle qui contrôle les effets mécaniques résultant des variations de contraintes.... » et s'exerce exclusivement sur le squelette solide du sol

#### Cas des sols saturés

$$\sigma' = \sigma - \alpha \ p_w \delta \ \alpha = 1 - \frac{K_T}{K_s} = \text{coefficient de Biot}$$

$$K_s \to \infty$$
  $\alpha = 1$   $\sigma' = \sigma - p_w \delta$  (Terzaghi, 1936)

#### Cas des sols Non Saturés

$$\sigma' = \sigma - p_a \delta + \chi (p_a - p_w) \delta$$

(Bishop, 1959; Bishop et Blight, 1963)

$$\sigma_{net} = \sigma - p_a \delta$$
 contrainte totale nette  $s = p_a - p_w$  succion matricielle

$$\sigma' = \sigma_{net} + \chi s \delta$$

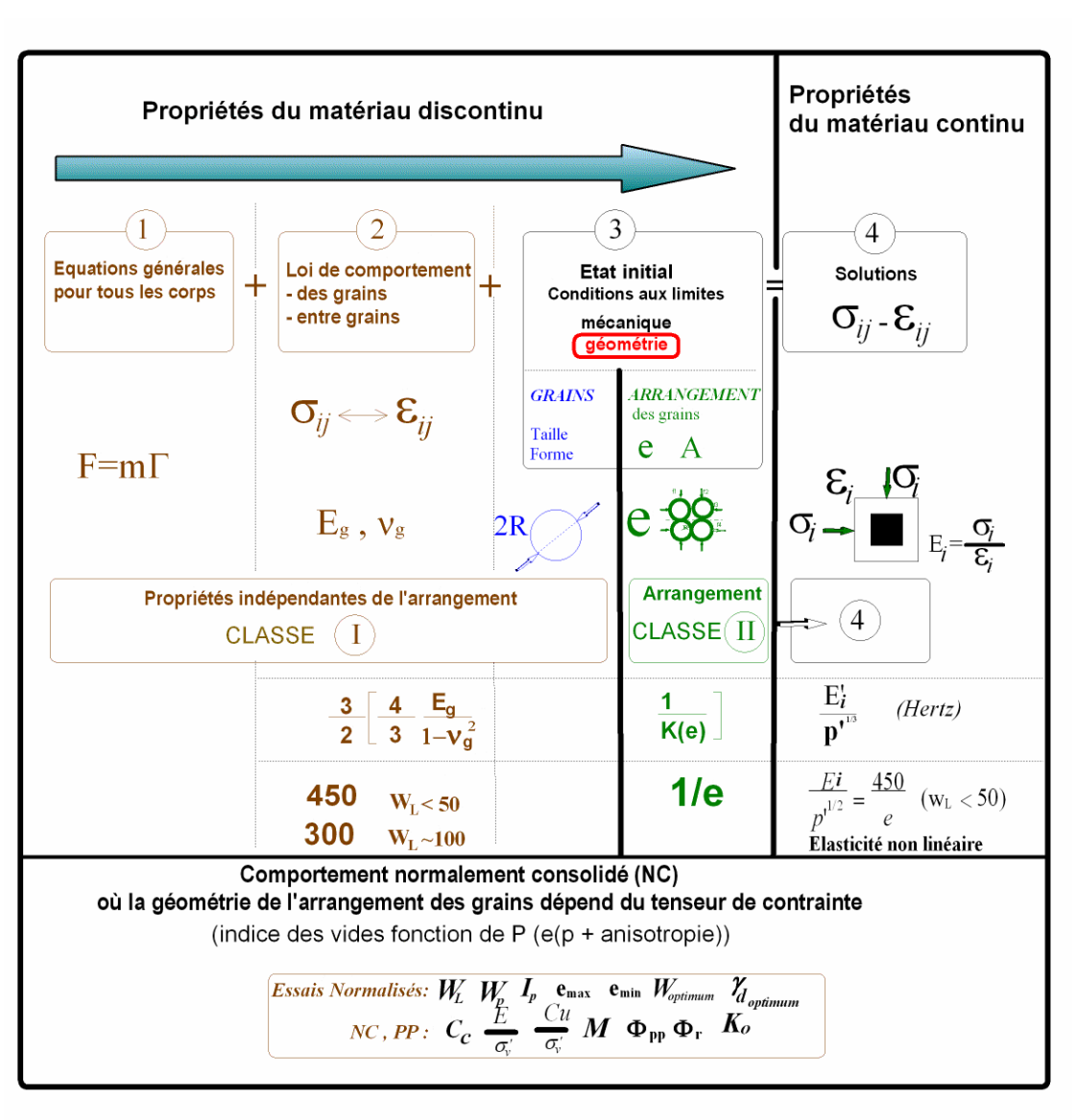
#### Différentes expressions du paramètre $\chi$ de Bishop

Expression de $\chi$	paramètres
$\chi = S^w$	S <sup>w</sup> : degré de saturation en eau  Hassanizadeh et Gray (1980)  Lewis et Shrefler (1987)  Bolzon et Schrefler (1995)  Bolzon et al. (1996)  Hutter et al. (1999)  Wheeler et al. (2003)
$\chi = 1  \text{pour } s < s_e$ $\chi = \frac{s_e + \frac{a_e}{s - s_e + a_e}(s - s_e)}{s}  \text{pour } s \ge s_e$	s : succion (kPa) s <sub>e :</sub> succion d'entrée d'air a <sub>e</sub> : paramètre fonction du sol <i>Kohgo et al. 1993</i>
$\chi = S^{w} (2 - S^{w})$	$S^w$ : degré de saturation en eau <i>Gudehus (1995)</i>
$\chi = \begin{cases} 1 & for & \frac{s}{s_e} \le 1 \\ \left(\frac{s}{s_e}\right)^{-0.55} & for & 1 \le \frac{s}{s_e} \le 25 \\ 25^{0.45} \left(\frac{s}{s_e}\right)^{-1} & for & \frac{s}{s_e} > 25 \end{cases}$	s: succion (kPa) s <sub>e:</sub> succion d'entrée d'air (de désaturation)  Khalili et Khabbaz (1998) Loret et Khalili (2000) Loret et Khalili (2002) Khalili et al. 2004 Russel et Khalili (2006)
$\chi = S^{w}$ $\frac{e}{e_{s}} = 1 - a[1 - \exp(b\xi)]$	$e(p')$ : indice des vides (essai de compression isotrope à succion contrôlée) $e_s$ $(p')$ : indice des vides (essai isotrope saturé) $\xi = f(s)(1-S^w)$ $a=0.369$ ; $b=1.419$ $f(s)$ : fonction de la succion  Gallipoli et al. (2003)
$\chi = \frac{1}{s+a}$	s : succion a : paramètre  Sun et al. (2003)
$\chi = S^w  ou  \chi = \sqrt{S^w}$	Sheng et al. (2003)

#### CONTRAINTE EFFECTIVE étendue aux sols NON SATURES (Biarez et al. 1993, 1994)

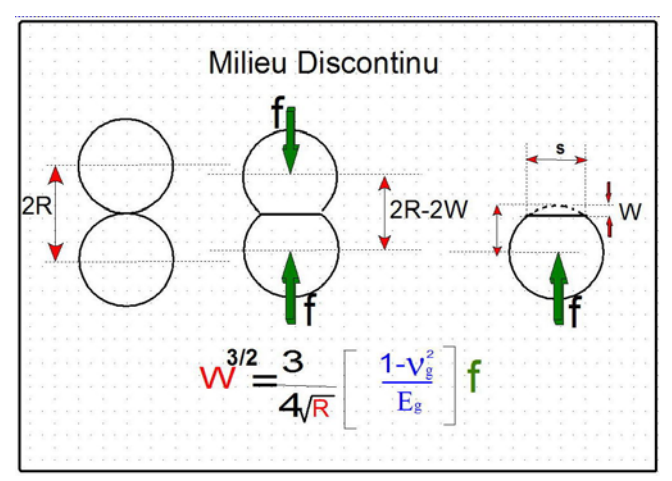
#### propriétés des matériaux discontinu > propriétés du matériau continu

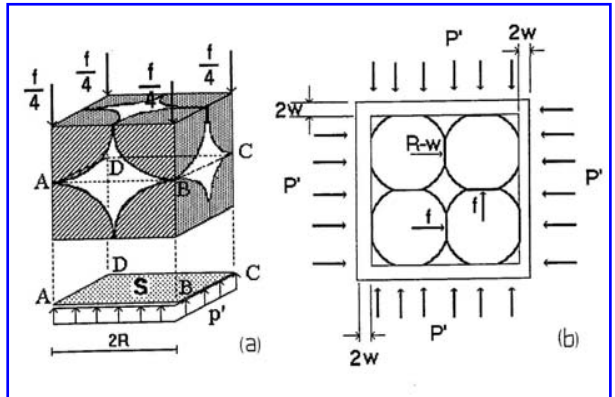
Matériau granulaire **saturé ou sec** →



#### Matériau granulaire saturé ou sec

#### **Exemple de relations Milieu discontinu - Milieu continu**





f=	K	$\mathbb{R}^2$	P'

nombre de contacts par sphère	4	6	8	12
е	2,4	0,9	0,6	0,3
K(e)	5,8	4	2,5	1,4

Un calcul de type Hertz montre qu'un ensemble de sphères a un comportement Elastique Non-Linéaire même avec des formées d'un matériau Elastique Linéaire. Cela provient de la modification de la surface de contact entre les sphères.

$$f = K R^{2}P'$$

$$W^{3/2} = \frac{3}{4\sqrt{R}} \begin{bmatrix} \frac{1-V_{g}^{2}}{E_{g}} \end{bmatrix} K R^{2}P'$$

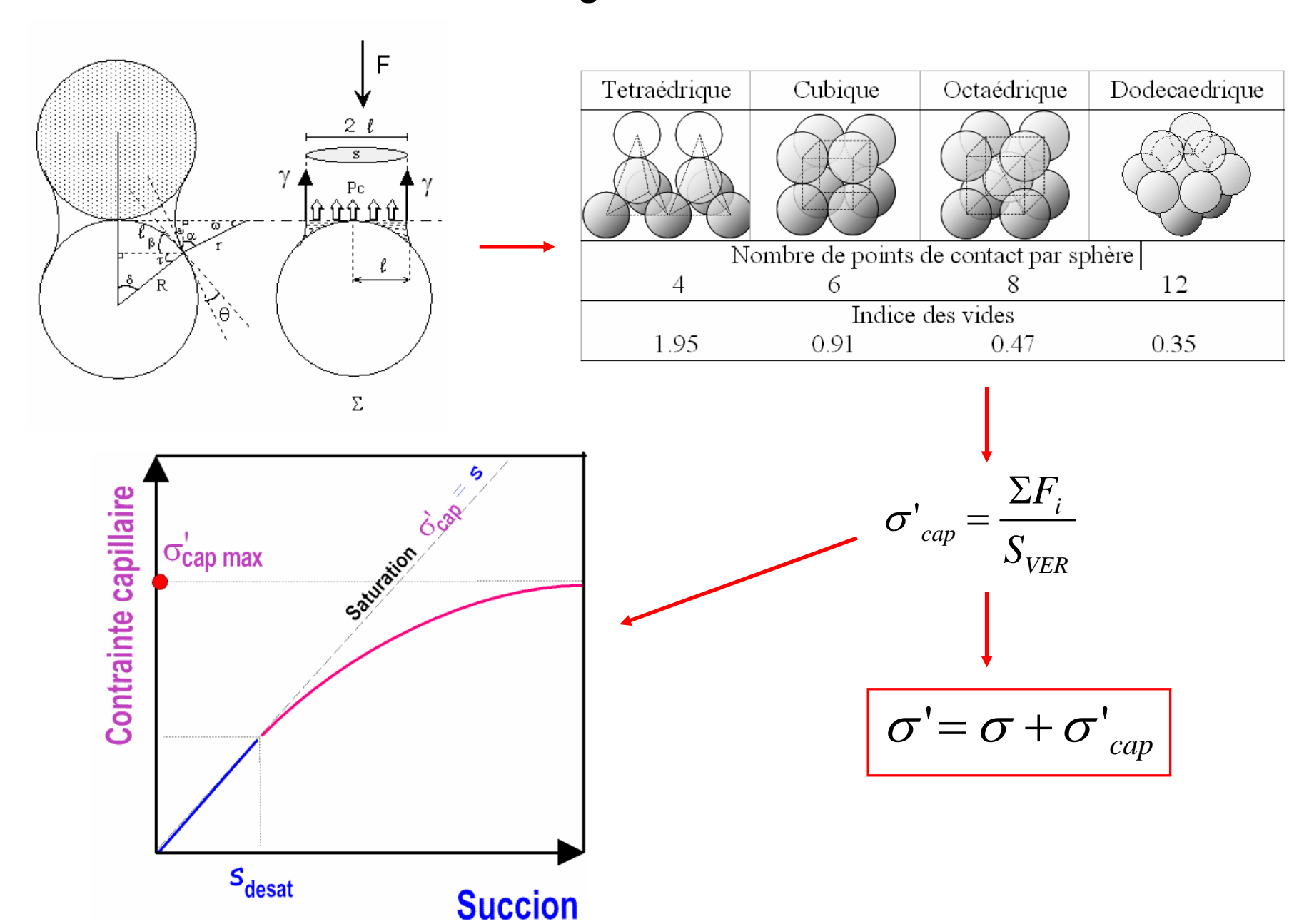
$$W^{3/2} = \frac{3}{4} R^{3/2} \begin{bmatrix} \frac{1-V_{g}^{2}}{E_{g}} \end{bmatrix} K P' \qquad \text{Propriété de la matière (grains)}$$

$$\zeta = \frac{P'}{\left(\frac{W}{R}\right)^{3/2}} = \frac{4}{3(K)} \begin{bmatrix} \frac{E_{g}}{1-V_{g}^{2}} \end{bmatrix} \qquad \text{Densité de l'assemblage (e, \gamma d)}$$

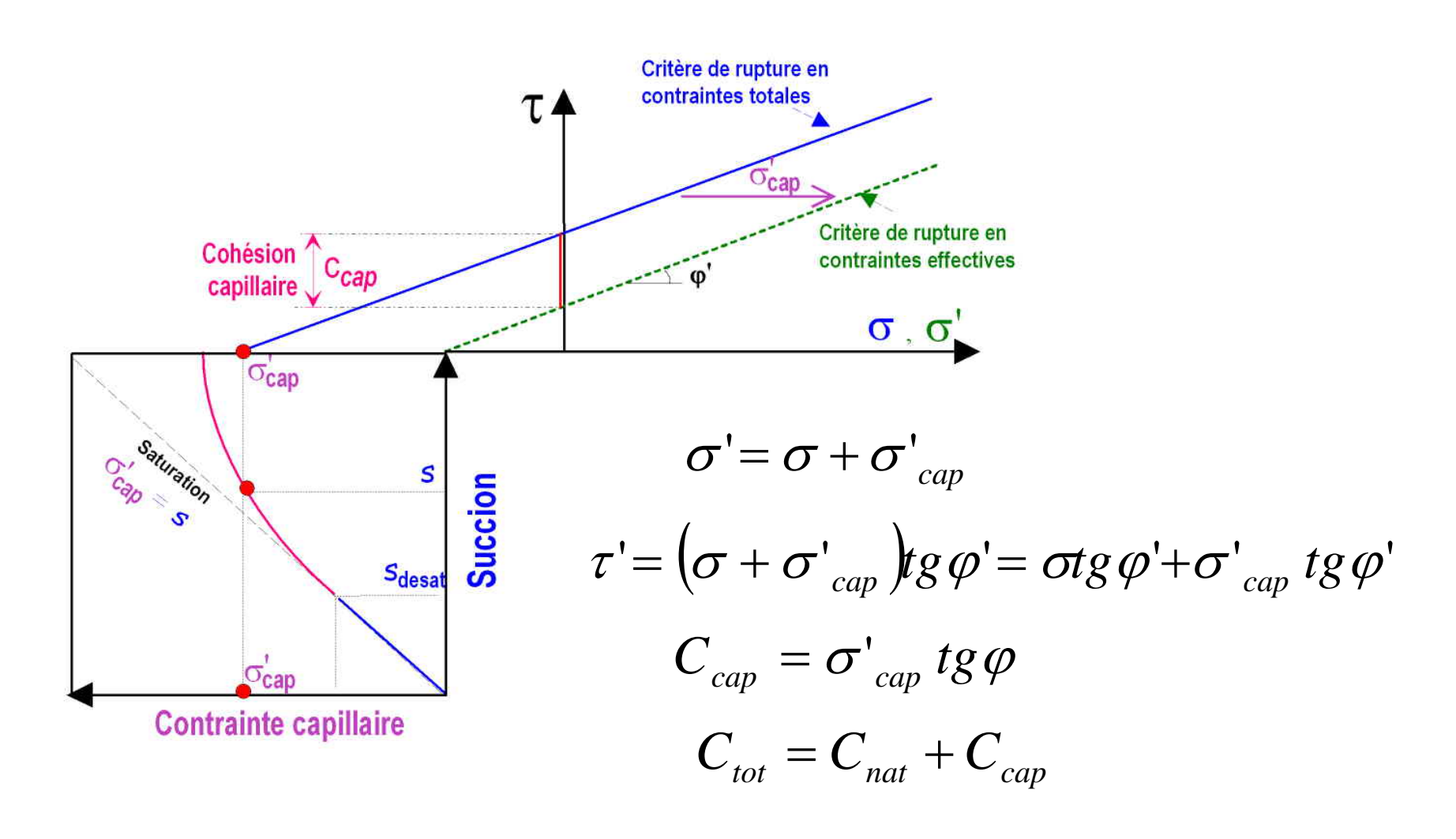
$$E : = \frac{\Delta P'}{\left(\frac{\Delta W}{R}\right)} = \frac{\Delta P'}{\Delta \epsilon} = \frac{3}{2} \zeta^{2/3} \sqrt[3]{P'}$$

$$E : = \alpha P'^{n}$$

#### Matériau granulaire NON SATURE



### Cohésion capillaire Critère de rupture



#### Modélisation micromécanique et l'étude par homogénéisation

(Chateau & Dormieux 1995) 
$$\pi = S_g p_g + S_l p_l - U$$

#### Approche thermodynamique de la notion de contrainte effective

*Gray et Schrefler (2001)* 

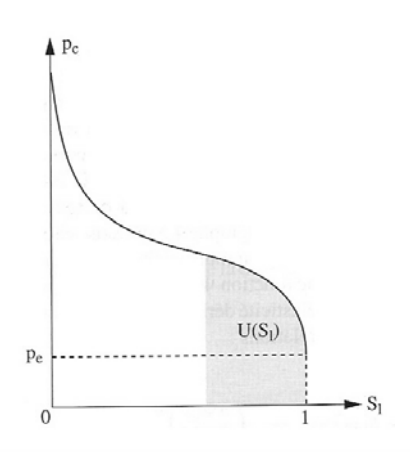
Coussy et Dangla (2002)

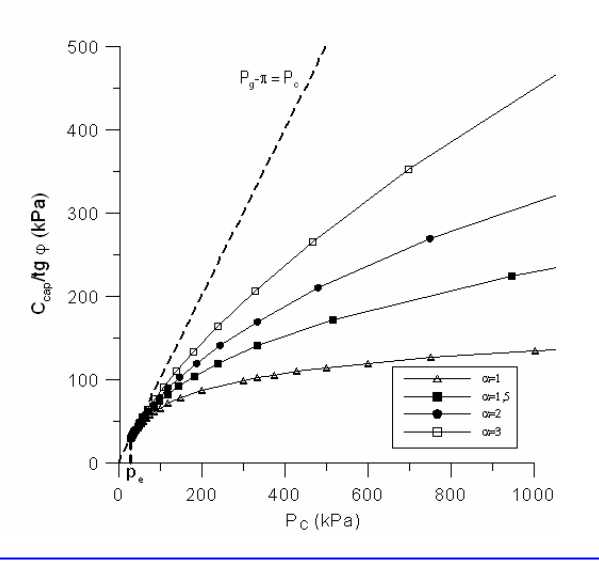
$$\sigma_{ij}' = \sigma_{ij} + \pi \delta_{ij}$$

$$\pi = S_g p_g + S_l p_l - U(S_l, T)$$

(Dangla 2002) — élastoplasticité des sols non saturés

$$C_{cap} = (p_g - \pi) t g \varphi = (p_c(S_l) S_l + U(S_l)) t g \varphi$$



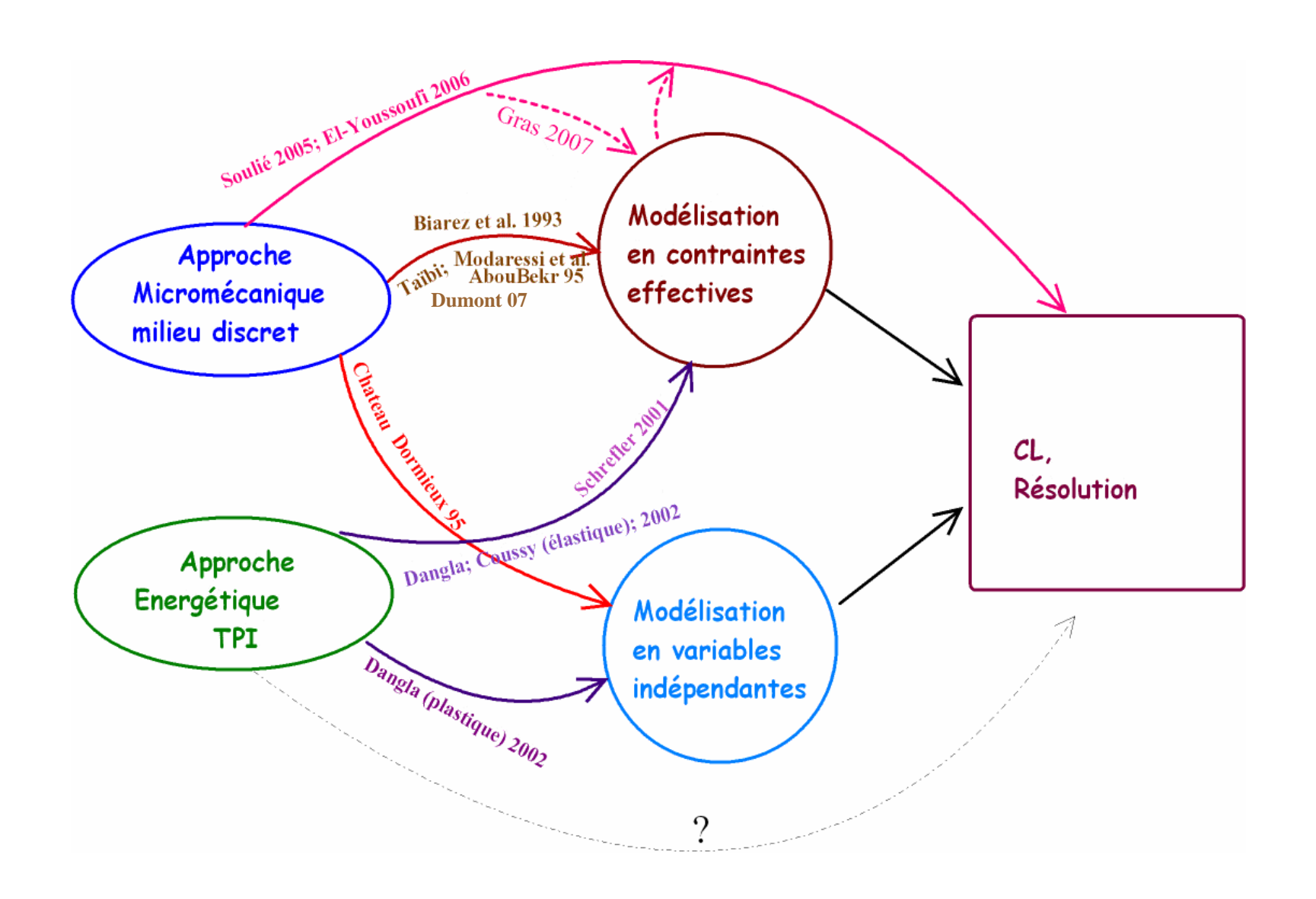


Un concept de contrainte effective généralisée associé à une loi de comportement élasto-plastique intégrant la définition d'une surface de charge fonction de la succion (Kohgo et al, 1993; Modaressi et AbouBekr, 1994 ; Bolzon et al., 1996 ; Loret et Khalili,

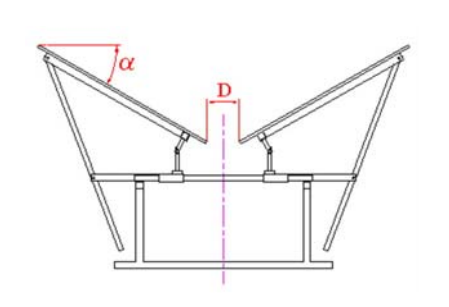
2000 ; Khalili et Loret, 2001 ; Dangla, 2002 ; Khalili et al., 2004).

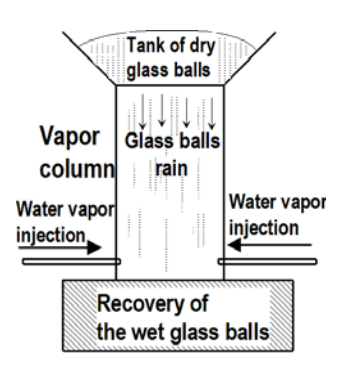
comportement mécanique unifié des sols avec un passage du domaine saturé au non saturé et réciproquement

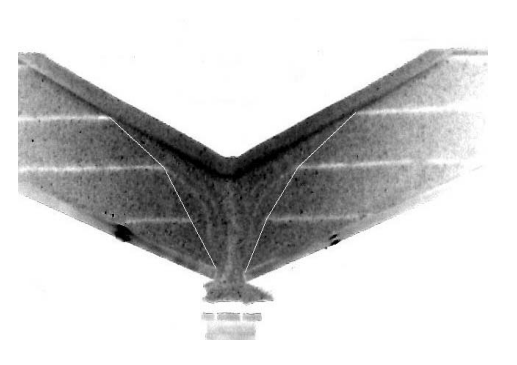
#### Synthèse: Résolution d'un problème de milieu poreux non saturé

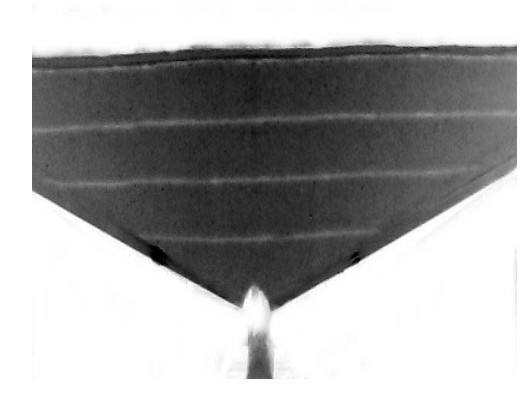


#### **Exemple : Ecoulements de matières ensilées**



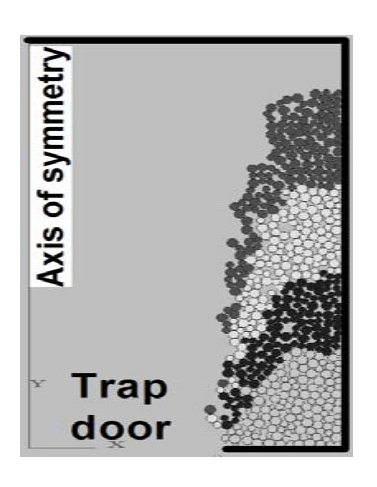


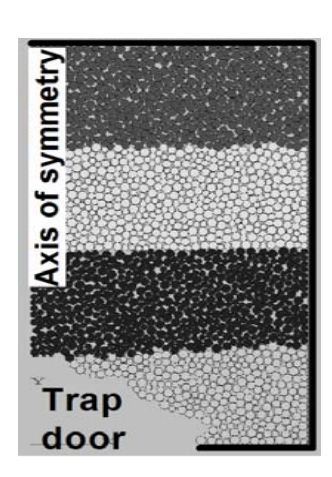




$$W = 0\%$$

W = 0.1 %



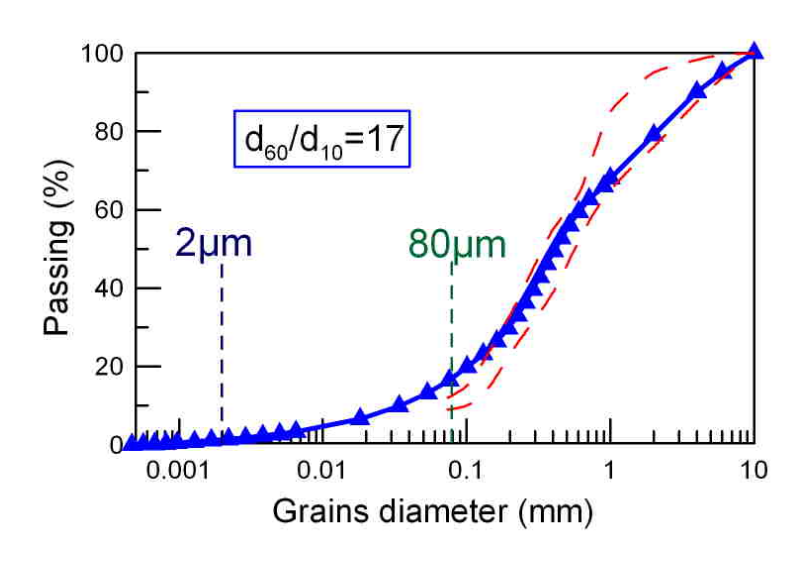


Average grain diameter	μm	300
Grain specific weight	$kN/m^3$	25
Internal friction angle	0	28
Interfacial friction angle	0	16.5
Normal Stiffness K <sub>n</sub>	N/m	$10^{7}$
Shear Stiffness $K_s$	N/m	$10^{7}$
Capillary forces f <sub>u</sub>	10 <sup>-5</sup> N	8; 80; 160

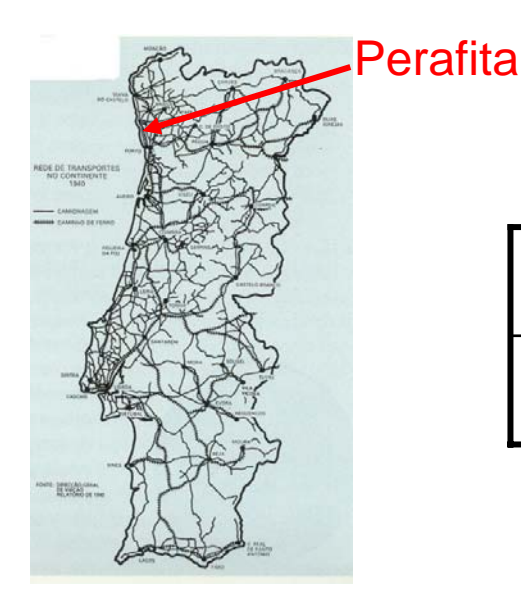
### Interprétation de résultats d'essais sur le sable de Perafita non saturé

- Mesures de module élastique en petites déformations à différentes teneurs en eau
- Essais triaxiaux à différents w avec mesure de la succion
- Essais de drainage-humidification

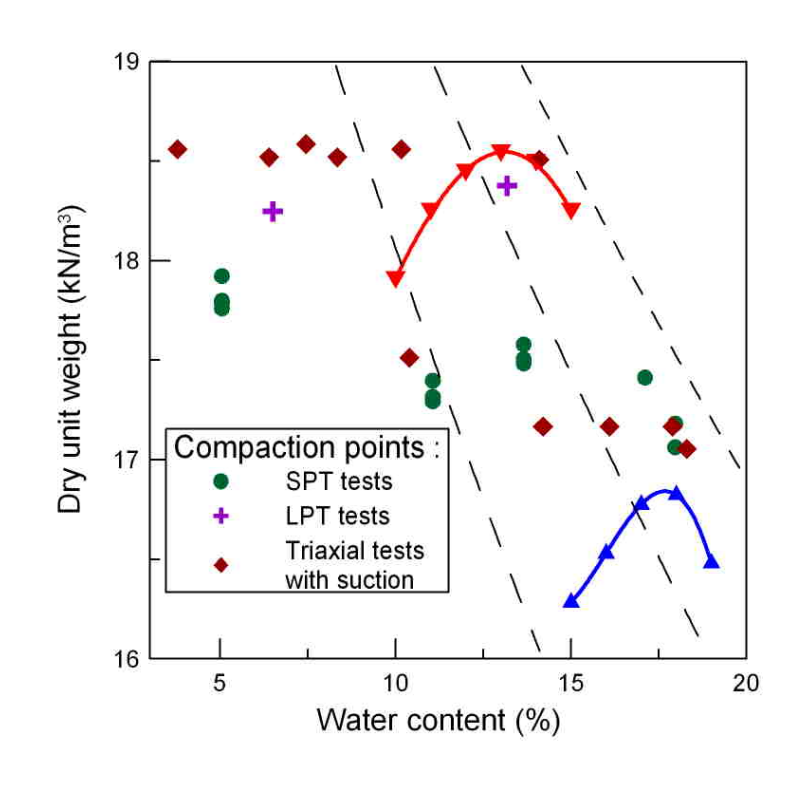
## Sable de Perafita (Portugal)



#### Sable fin silteux



W <sub>L</sub>	W <sub>P</sub>	I <sub>P</sub>
33	25	8



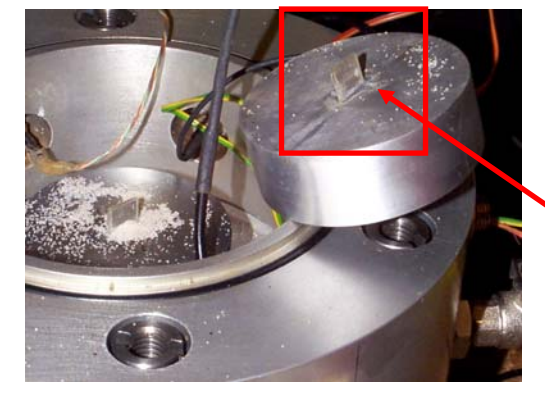
compacté dans différentes conditions

## Mesure des propriétés dynamiques des sols à l'Ecole Centrale Paris



Capteurs de déformation locale (LDT)





Capteurs à effet Hall

Bender elements

### Mesure de la pression capillaire dans les sols non saturés à l'Ecole Centrale Paris



Montage tensiométrique ou à surpression d'air

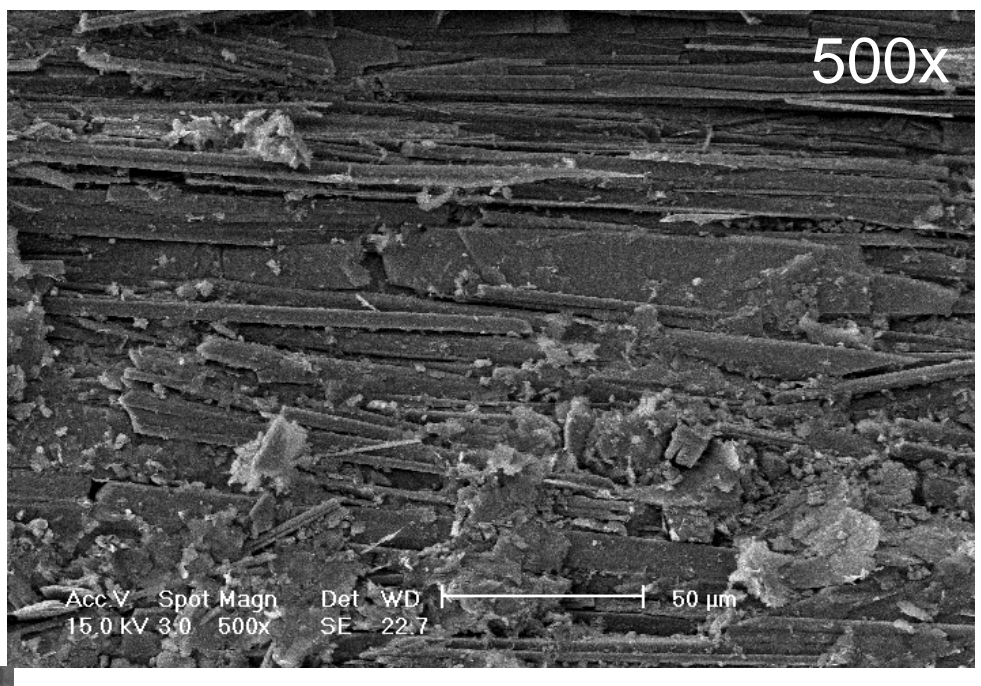


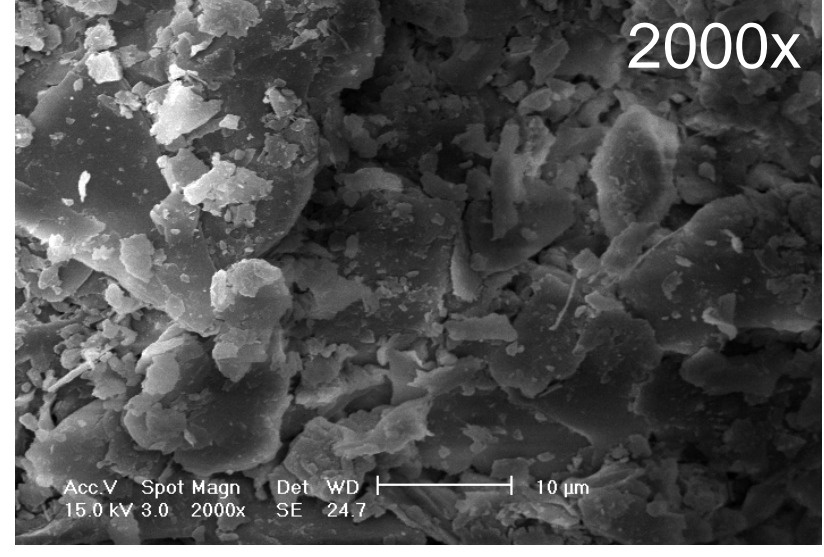




Psychromètre

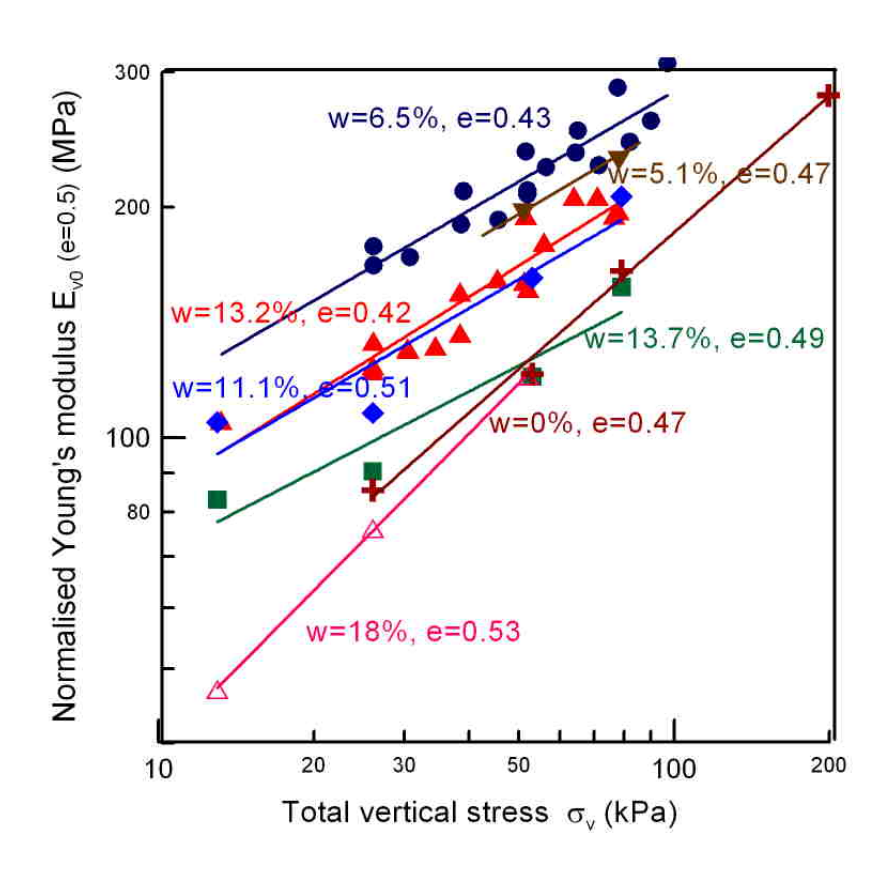
Les résultats aux grossissements de 2000x et 500x montrent des structures locales de plaquettes et d'aiguilles agglomérées

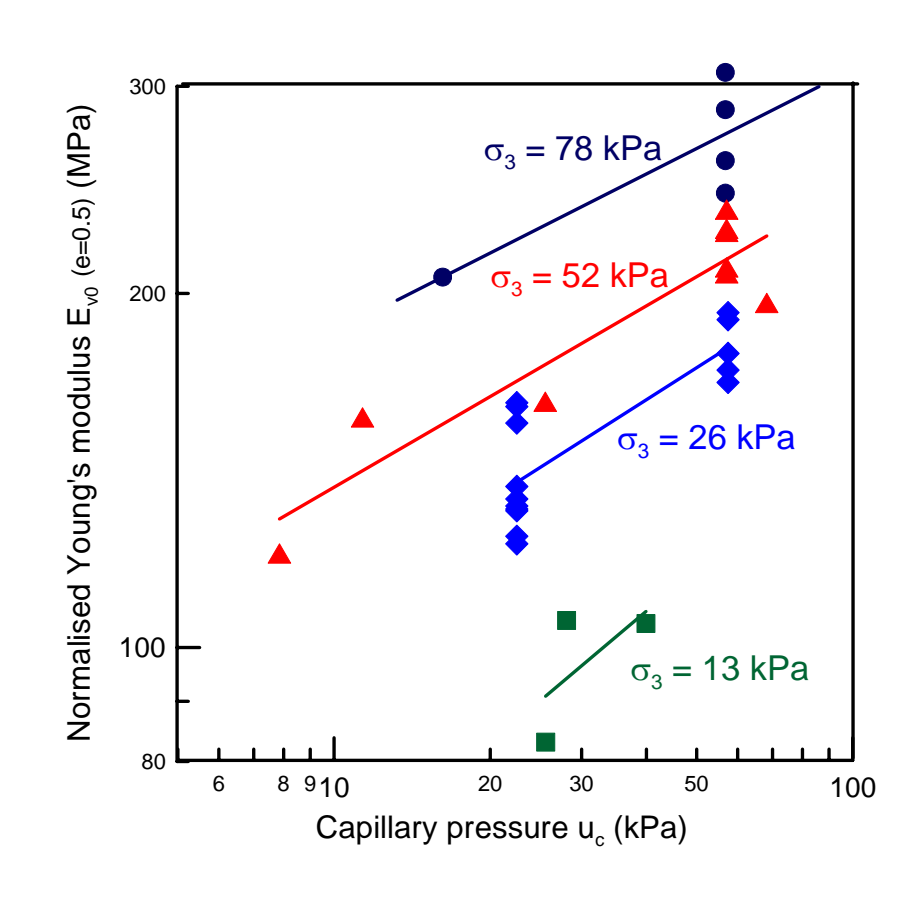




La structure du sable de Perafita correspond à un matériau détritique, qui porte les marques de l'altération physico-chimique du granit qui lui a donné naissance

## Résultats obtenus sur le sable de Perafita en très petites déformations

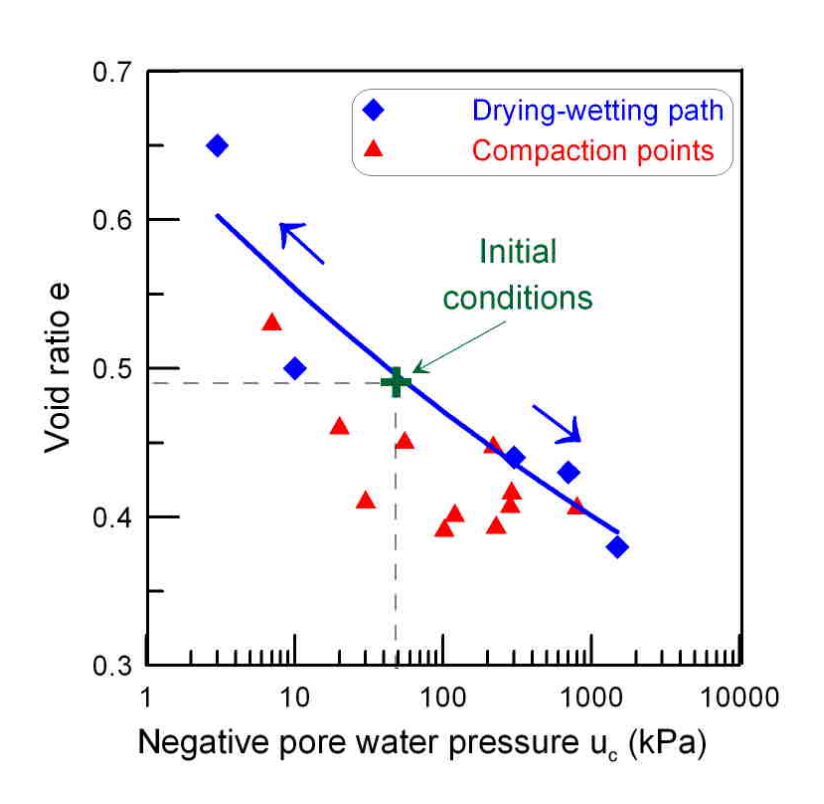


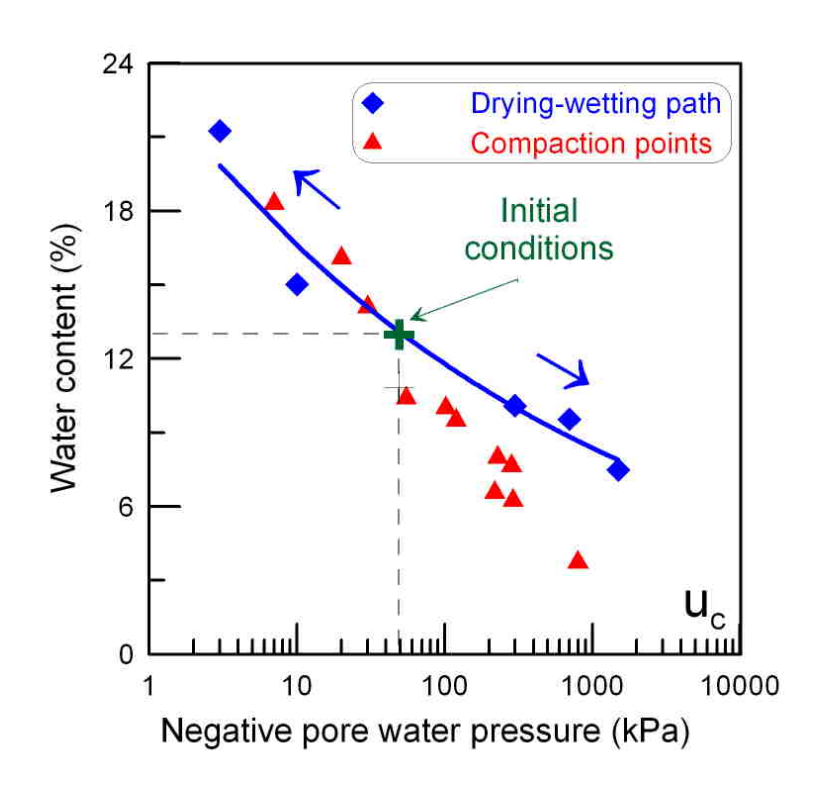


$$E(\sigma_1)$$

$$E(u_c)$$

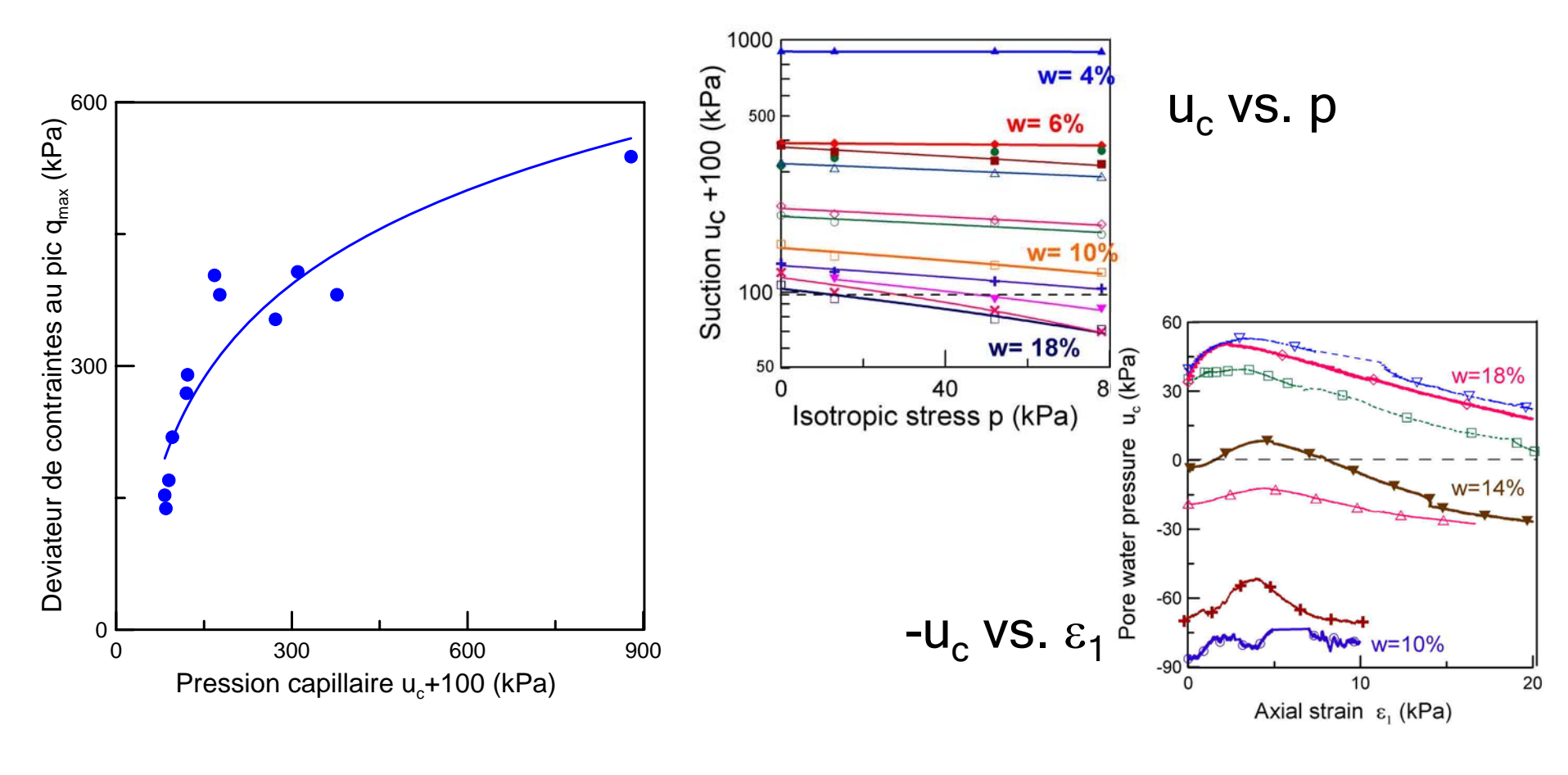
### Comportement hydrique du sable de Perafita non saturé





Chemins de séchage-humidification sur le sable de Perafita compacté à  $w_{opt}$  et  $\gamma_{dmax}$ 

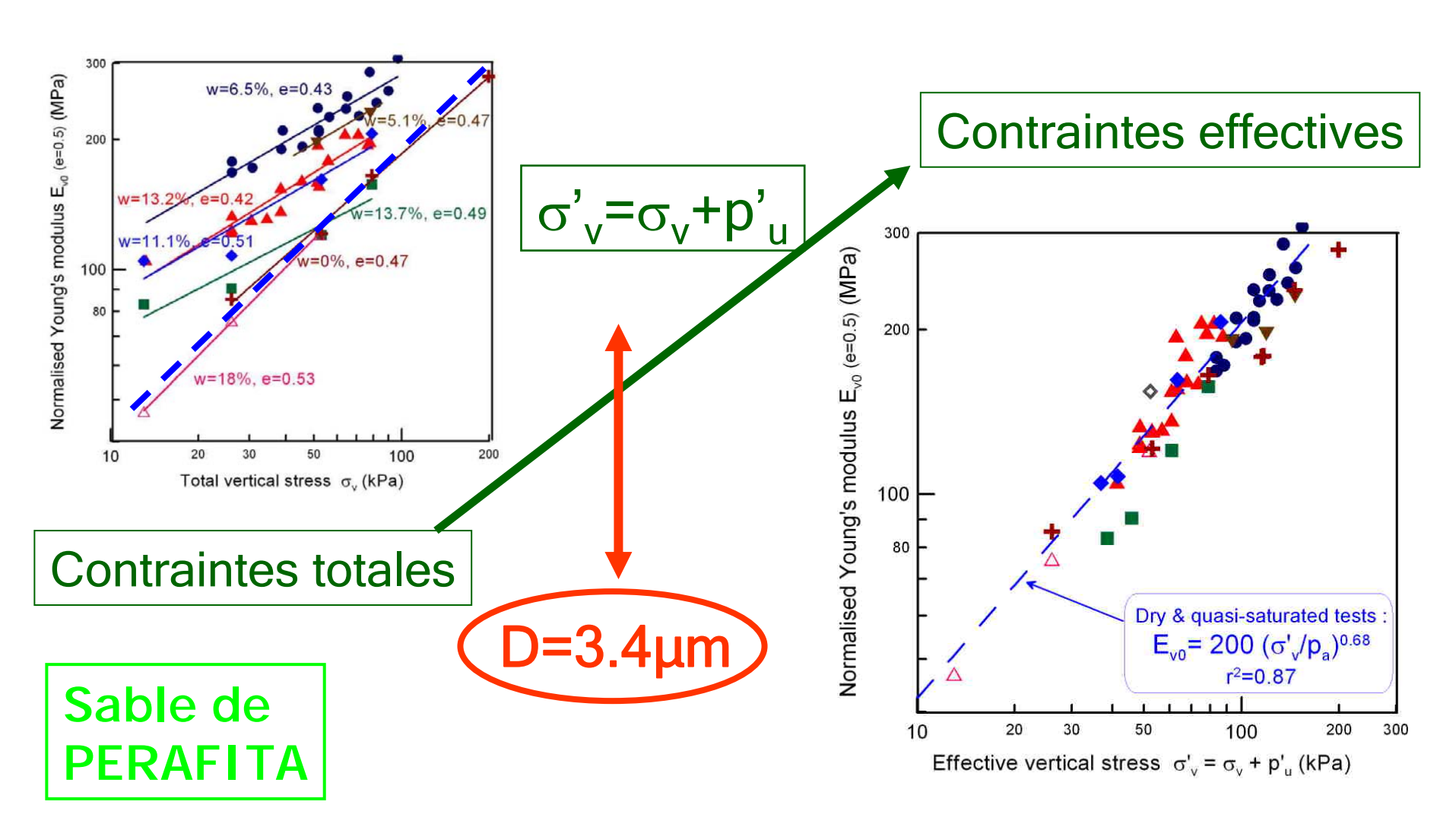
# Chargements isotropes et déviatoires en grandes déformations avec mesure de u<sub>c</sub>



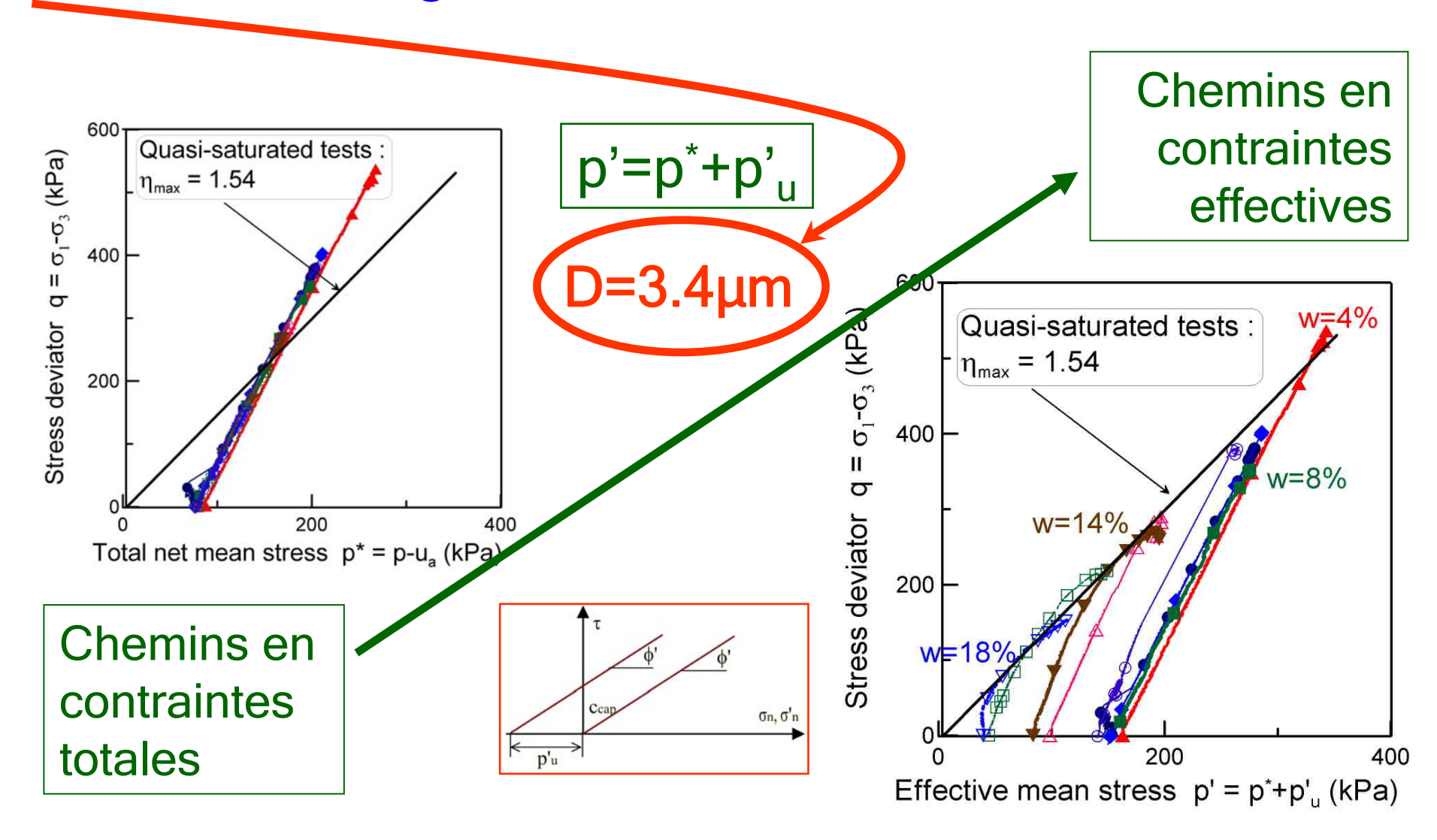
Déviateur maximum-Pression capillaire

Pression int. - Contr. Isotrope ou Déformation axiale (w > 10%)

# Interprétation des mesures de module en contraintes effectives généralisées



## Interprétation des essais déviatoires en grandes déformations



Merci.....